

# プレストレスしない連続合成桁の疲労実験

大阪大学工学部 正員 前田幸雄  
大阪大学大学院 学生員 稲川靖治

## 1. まえがき

プレストレスしない連続合成桁橋の設計指針の裏付けとなる資料を得るために、現在模型桁による一連の疲労試験を行っている。これらのうち、一部の実験の結果についてはすでに前回（昭和43年度関西支部年次学術講演会）発表したが、今回はその後引き続き行なった実験の結果をも合わせて、報告する。

## 2. 供試体および試験方法

供試体は前回と同じく支間5mの単純桁であり、表-1に示す諸量を有する。  
EZ-3桁の2体は負モーメントを、  
F1桁は正モーメントをうけた。

表-1 供試体

| 供試体  | 本数 | 鋼材<br>(SS41)                             | コンクリート<br>床版     | 軸方向鉄筋<br>(SD30)(標準は Ø19×100(SS41)) | ジベルビッチ                  |
|------|----|--|------------------|------------------------------------|-------------------------|
| EZ-3 | 2  | Flg. P1 150×10×5600<br>Web P1 350×8×5600 | 500×150<br>×5400 | 6-D16                              | 20@100+5@200<br>+20@100 |
| F1   | 1  | Flg. P1 250×16×5100                      |                  |                                    |                         |

シントを、F1桁は正モーメントをうけた。負モーメントの場合は、前回と同様に、床版を下側にして正モーメントの場合は通常の単純桁として載荷した。その他、桁の詳細・測定方法等については、前回の講演概要を参照されたい。

## 3. 実験結果および考察

今回行なった実験結果の概要を表-2に示す。EZ-3桁の2体は前回述べた実験結果と同様の性状を示したため、詳細なデータは省略する。F1桁に対する荷重たるひずみ分布とそれそれ回-1、2に示す。ひずみ分布は  $\nu = 7$  とした計算値とよく一致したが、たわみに関しては曲げモーメントのみを考慮するだけでは不十分で、せん断力による影響が前者の約20%を占め、これは無視し得ない。ちなみに両者を考慮した計算結果は実験値とよく一致する。また、負モーメントをうけた実験結果を総合すると以下のことが言える。まず床版の最大ひびわれ

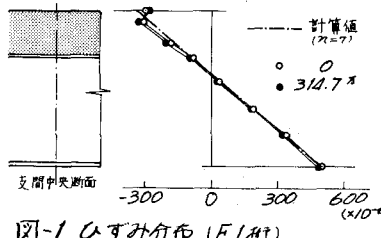


図-1 ひずみ分布 (F1桁)

表-2 実験結果の概要

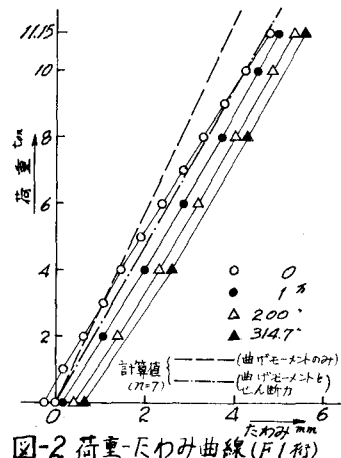


図-2 荷重-たわみ曲線 (F1桁)

| 供試体      | 曲げモーメント<br>(34.4片側)  | 繰返し荷重<br>(34.4片側) | 荷重点間応力<br>(kg/mm)  | 破壊状況   | 総繰返し数                 | 最終静的破壊荷重<br>(34.4片側)              | 床版最大ひびわれ幅<br>(P=0~max) | 最大引張量<br>(P=0~max) |
|----------|--|-------------------|--|--|-----------------------|-----------------------------------|------------------------|--------------------|
| EZ-3-1 負 | $P_{max} = 5.6$<br>$P_{min} = 234$<br>$\Delta_{max} = 700$ | 外側<br>内側<br>筋     | $\sigma_{max} = 1200$<br>$\sigma_{min} = 500$<br>$\sigma_{change} = 700$ | 200万回後、階段漸増繰返し荷重による<br>載荷方法により、 $P_{max} = 835$ kg/mm = 2.44t (鉄筋<br>心材幅幅1500 mm×16) が荷重時に疲労破壊 | $\times 10^4$<br>2182 | 16.0 ton<br>(22.8 ton)<br>(200万回) | 0.266 mm<br>0.017 mm   |                    |
| EZ-3-2 負 | 935<br>467   | 筋                 | 2000<br>1000<br>1000   | ノブが回りこで曲げひびわれの分岐フラ<br>ンジにキレが認められた。その後も<br>引張り強度が衰弱し疲労破壊した。                                     | $\times 10^4$<br>約150 | —<br>(22.8")<br>(50万回)            | 0.336 "                | 0.026 "            |
| F1 正     | 11.15<br>4.46  | 支<br>端            | -100<br>-40<br>60  | ノブが回りこで曲げひびわれが認められ<br>た。最後の静的破壊試験では荷重点間のコンクリートの圧壊による破壊。  | 311.7                 | 39.0<br>(380")                    | —                      | 0.012<br>(250万回)   |

幅については、(a)鉄筋のコンクリートに対する断面積比が大きい程小さく、(b)この比が一定の場合にはジベルピッキが小さいものの方がいく分大きくなる。ためにひずみ分布については、(c)両者との鋼断面(鋼桁と軸方向鉄筋を含めた断面)とした計算値によく一致し、(d)ズレによるこれらへの影響は顕著ではなかった。また、疲労破壊した桁では、(e)すべて引張フランジのスタッド溶植部付近から亀裂が発生しており、(f)引張フランジの応力振幅が大きい程少ない繰返し数で、(g)また同一荷重に対してジベルピッキが大であれば少ない繰返し数で疲労破壊する。(図-3,4を参照のこと)

次に、疲労破壊生じた所について若干の考察を試みる。負モーメントをうえる桁において見られた、引張フランジの破断位置を図-3に示す。これらの破断位置は各桁によりたり異異なるが、共通してスタッドの根元附近に集中している。これはまず第一に、スタッド溶植時の熱影響によるものではないかと考えられる。既往の研究によれば、引張部材にスタッドを溶植した場合、その熱影響部には狭い範囲ながら硬化域がみられ、これが原因となり、その疲労強度が著しく低下するということも報告されている。そこで、本実験の結果をそれらと比較するために、引張フランジの破断部の応力振幅と繰返し数との関係を図示すれば、図-4のごとくとなる。図中、直線で示したのはイリノイ大学で行われた、スタッドジベルを溶植した鋼板の疲労試験結果である。これを見て両者の間にはその破壊に到る繰返し数において、かなり大きな差が見られる。そこで、他の原因として、鋼桁とスラブ間に働くせん断力や、桁の曲げにより軸方向鉄筋に働く軸力(引張力)等の影響が考えられる。すなわち、これらの力によりスタッドにはせん断応力だけでなく、その曲げ変形による応力も生じる。このため、桁の曲げによる引張応力がこれらの応力を組合せたり、スタッドの根元附近のフランジ内では大きな応力集中が起るものと予想される。その結果、引張フランジの疲労強度が、スタッド溶植時の熱影響によるよりも、さらに低下するものと思われる。

結局、今までに行なった単純桁による試験結果だけからすれば、負モーメントをうえる繰返し荷重に対しては、スタッド自身の疲労よりも、スタッドの配置と密接な関係があると思われる。引張フランジの疲労といふことが重要な問題になるものと考えられる。しかし、連続桁とした場合にこのようなことが言えるかどうかは、引続き連続桁についての実験を行ない、研究中である。

| 引張フランジ破断位置(平面図) |                         |             |
|-----------------|-------------------------|-------------|
| E1-1            |                         |             |
| フランジ応力振幅        | 1350 kg/cm <sup>2</sup> | (階級漸増荷重法±3) |
| 破断時繰返し数         | 227.1                   |             |
| E2-1-1          | 615                     | 635         |
|                 | 1255                    |             |
| E2-1-2          | 500                     | 335         |
|                 | 500                     | 22.65       |
| E2-2-1          | 225                     |             |
|                 | 56.94万                  |             |
| E2-2-2          | 360                     | 450         |
|                 | 198.1                   | 199.6       |
| E2-3-1          | 510                     |             |
|                 | 218.2                   | (階級漸増荷重法±3) |
| E2-3-2          | 645                     |             |
|                 | 133.8                   |             |
| E3-1            | 365                     |             |
|                 | 145.8                   | (0.8は2.9倍)  |
|                 | 2000                    | 1000        |
|                 |                         | 2000        |
|                 |                         | 支間 5000     |

図-3 引張フランジ破断位置

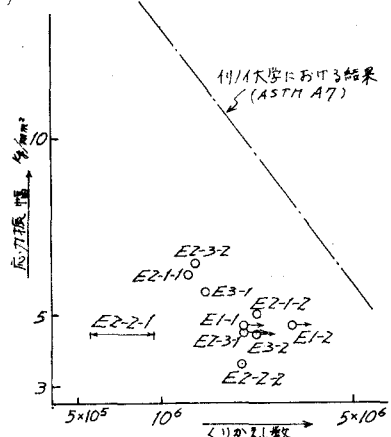


図-4 応力振幅-くりかえし数